

06.2; 07

© 1992

ПЛАНАРНЫЕ ФОТОДИОДЫ НА ОСНОВЕ *InAs*  
МАТЕРИАЛА

В.П. Астахов, Ю.А. Данилов,  
В.Ф. Дудкин, В.П. Лесников,  
Г.Ю. Сидорова, Л.А. Суслов,  
И.И. Таубкин, Ю.М. Эскин

Известно [1, 2] об изготовлении планарных фотодиодов (ФД) на основе материала *InSb* с высокими фотоэлектрическими параметрами имплантацией ионов бериллия. Исходя из принадлежности материала *InAs* к той же полупроводниковой группе  $A_3B_5$ , можно ожидать, что имплантация ионов бериллия является также перспективным способом формирования р-п перехода и изготовления ФД и на основе арсенида индия. Публикации о работах в этом направлении нам не известны. В данной статье приводятся первые результаты наших исследований таких ФД.

Планарные фотодиоды изготовлены имплантацией ионов бериллия через окна размером  $150 \times 150$  мкм в фоторезистивной маске, нанесенной на поверхность пластин *InAs* с ориентацией [100] и концентрацией дозоров, равной  $\sim 2 \cdot 10^{16}$  см $^{-3}$  при температуре 77 К. Послеимплантационный термический отжиг приводил к формированию р $^+$ -слоя толщиной 0.6–0.8 мкм со средней концентрацией  $\sim (2-3) \times 10^{18}$  см $^{-3}$ . Защита поверхности осуществлялась анодным окислением и нанесением пленки нитрида кремния толщиной  $\sim 0.2$  мкм.

На рис. 1 представлены вольт-амперные характеристики (ВАХ) изготовленных ФД, а на вставке этого рисунка – зависимость тока от напряжения прямого смещения при  $T=77$  К.

Вид ВАХ и значения пробивных напряжений (10–15 В при  $T=77$  К) свидетельствуют о высоком качестве р $^+$ -п переходов. Данные вставки свидетельствуют о том, что ВАХ соответствуют выражению  $j = j_0 [\exp(qV / \beta k T) - 1]$  при  $j_0 = 7 \cdot 10^{-8}$  А/см $^2$ ,

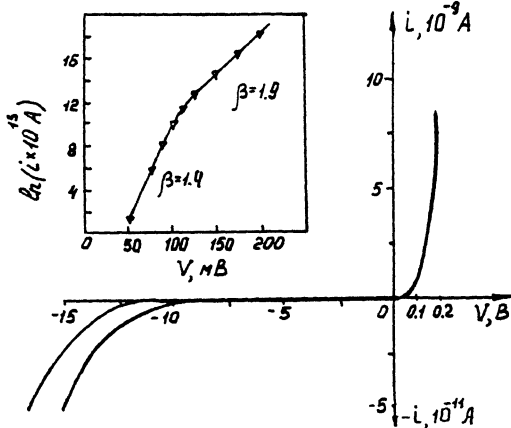


Рис. 1. Вольт-амперные характеристики ФД из  $InAs$ , полученных имплантацией ионов бериллия.

причем при напряжении ниже 0.12 В ток обусловлен преимущественно диффузионным механизмом ( $\beta \approx 1.4$ ), а при больших напряжениях — генерацией-рекомбинацией ( $\beta \approx 1.9$ ). Расчет генерационного времени жизни  $\tau$  в области пространственного заряда (ОПЗ) из соотношения  $j_0 = qn_i W / \tau$  (где  $n_i$  — концентрация носителей при 77 К в „собственном“ материале, а ширина ОПЗ  $W$  определялась из вольт-фарядных характеристик) дал значение  $\sim 2 \cdot 10^{-8}$  с.

На рис. 2 представлена температурная зависимость дифференциального сопротивления  $R_g$  изготовленных  $p^+$ - $n$  переходов, измеренного при нулевом смещении. Из рисунка следует, что при температуре ниже 170 К энергии активации  $E_a$  соответствует половине ширины запрещенной зоны ( $E_g / 2$ ) для  $InAs$ , а при более высоких температурах —  $E_g$ , т.е. при  $T < 170$  К ток через  $p^+$ - $n$  переход обусловлен генерацией в ОПЗ, а при более высоких температурах — диффузией дырок в  $n$ -области.

На рис. 3 представлены температурные зависимости шумов, удельной обнаружительной способности  $D^*$  и сигнала, полученные для температуры АЧТ излучателя 500 К, а также значения удельной обнаружительной способности  $D_{\lambda max}^*$  на длине волны  $\lambda_{max}$ , соответствующей максимуму спектральной характеристики чувствительности для трех значений температуры (77, 170 и 196 К), вычисленные исходя из спектральных зависимостей токовой чувствительности, представленных на рис. 4. Все измерения проводились при эффективных апертурных углах  $\theta > 30^\circ$ . Значения токовой чувствительности  $S_{\lambda max}$  на длине волны  $\lambda_{max}$  составляли 1.6–1.7 А/Вт, что соответствует квантовой эффективности  $\eta \geq 70\%$ .

Из представленных данных следует, что по значениям  $D_{\lambda max}^*$  при температурах 77 и 196 К изготовленные планарные ФД не

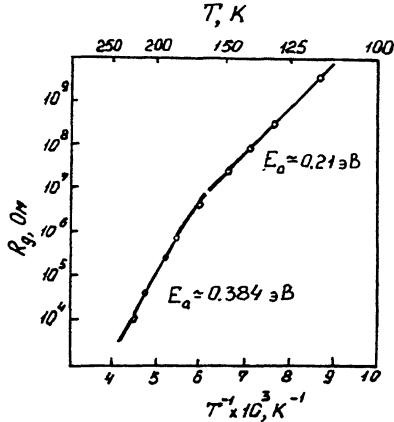


Рис. 2. Температурная зависимость дифференциального сопротивления  $R_g$  фотодиодов из  $InAs$ .

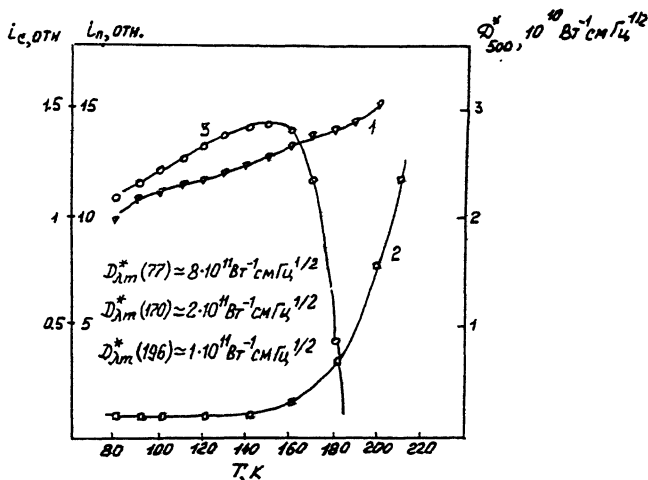


Рис. 3. Температурные зависимости сигнала  $i_s$  (кривая 1), шума  $i_n$  (кривая 2) и удельной обнаружительной способности от АЧТ  $500 \text{ K } D^*_{500}$  (кривая 3) фотодиодов из  $InAs$ .

уступают известным аналогам [3-6]. Длина волны  $\lambda_{max}$  и длинноволновая граница спектральных характеристик составляют соответственно 2.7 и 3.2 мкм при температуре 77 К и 3.1 и 3.4 мкм при температуре 196 К, что также соответствует данным работ [3-6].

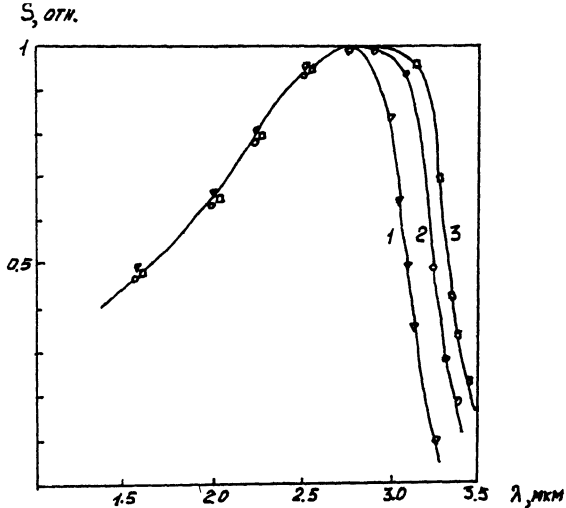


Рис. 4. Спектральные характеристики  $S_3$  ФД из  $InAs$  при значениях температуры: 1 - 77 К, 2 - 170 К, 3 - 196 К.

Вся совокупность представленных данных свидетельствует о том, что созданы высокоэффективные планарные ФД на основе материала  $InAs$   $p$ -типа проводимости, которые могут найти широкое применение. При глубоком охлаждении ( $T=77$  К) эти ФД имеют наивысшие значения параметров ( $D_{\lambda_{max}}^* = 8 \cdot 10^{11} \text{ см} \text{ Гц}^{1/2} \text{ Вт}^{-1}$ ,  $R_g \cdot A > 10^6 \text{ Ом} \cdot \text{см}^2$ , где  $A$  - площадь  $p^+$ - $n$  перехода). При использовании термоэлектрических охладителей ( $T=196$  К) получены следующие значения параметров:  $D_{\lambda_{max}}^* = 1 \cdot 10^{11} \text{ см} \text{ Гц}^{1/2} \text{ Вт}^{-1}$ ,  $R_g \cdot A > 20 \text{ Ом} \cdot \text{см}^2$ . При этом величина  $R_g$  может быть увеличена в 8-10 раз приложением обратного смещения величиной  $V = (100-150) \text{ мВ}$ . Это относится и к случаю более высоких рабочих температур. Так, при той же площади  $p^+$ - $n$  перехода и  $V = 100 \text{ мВ}$  получены значения  $R_g \geq 200 \text{ кОм}$  ( $T=230$  К) и  $R_g > 2 \text{ кОм}$  ( $T=300$  К). В отсутствие смещения значения  $R_g$  составляют 30 кОм и 200 Ом соответственно для температур 230 и 300 К.

Изготовленные планарные фотодиоды могут найти применение в системах контроля содержания экологически вредных соединений в газах, в том числе и в воздухе, а также в жидкостях, поскольку в спектральном диапазоне 2-3.5  $\mu\text{m}$  имеются полосы поглощения многих углеводородов, окислов азота и углерода, сероводорода [7]. Другие возможные области применения этих ФД указаны в [8]. При этом требования к чувствительности соответствующих систем могут быть реализованы путем использования оптимальных способов охлаждения, а во многих случаях - и при комнатной температуре.

- [1] B e t z H., W i e d e b u r g K., R u s -  
s e l H., K r a n z H. // IEDM, 1977, Washing-  
ton, Techn. Digest.
- [2] R o s b e c k I.P., K a s s i I., H o e n -  
d e r v o o g R.M., L a n i r T. // IEEE  
Trans. on Electron Devices. 1981. N 7.  
P. 161-164.
- [3] M a r k E., Y r e i n e r, C h a r l e s I.  
Martin. Proc. SPIE. 1986. P. 686.
- [4] H o l t I. // Elect. Opt. Technol. 1985. V. 21.  
N 12. P. 82, 84-90.
- [5] H o l t I. // Lazer Focus/Elect. Opt. 1986. V. 22.  
N 12. P. 82-83.
- [6] Judson Infrared Inc., New 1985 Edition,  
p. 17.
- [7] M e y e r P.L., S i g r i s t M.V. // Rev. Sci.  
Instr. 1990. V. 61. N 7. P. 1779-1807.
- [8] У ш а к о в а М.Б. В сб.: Итоги науки и техники. Электро-  
ника и ее применение. 1988. Т. 20. С. 85-128.

Поступило в Редакцию  
9 декабря 1991 г.